

FIG. 1

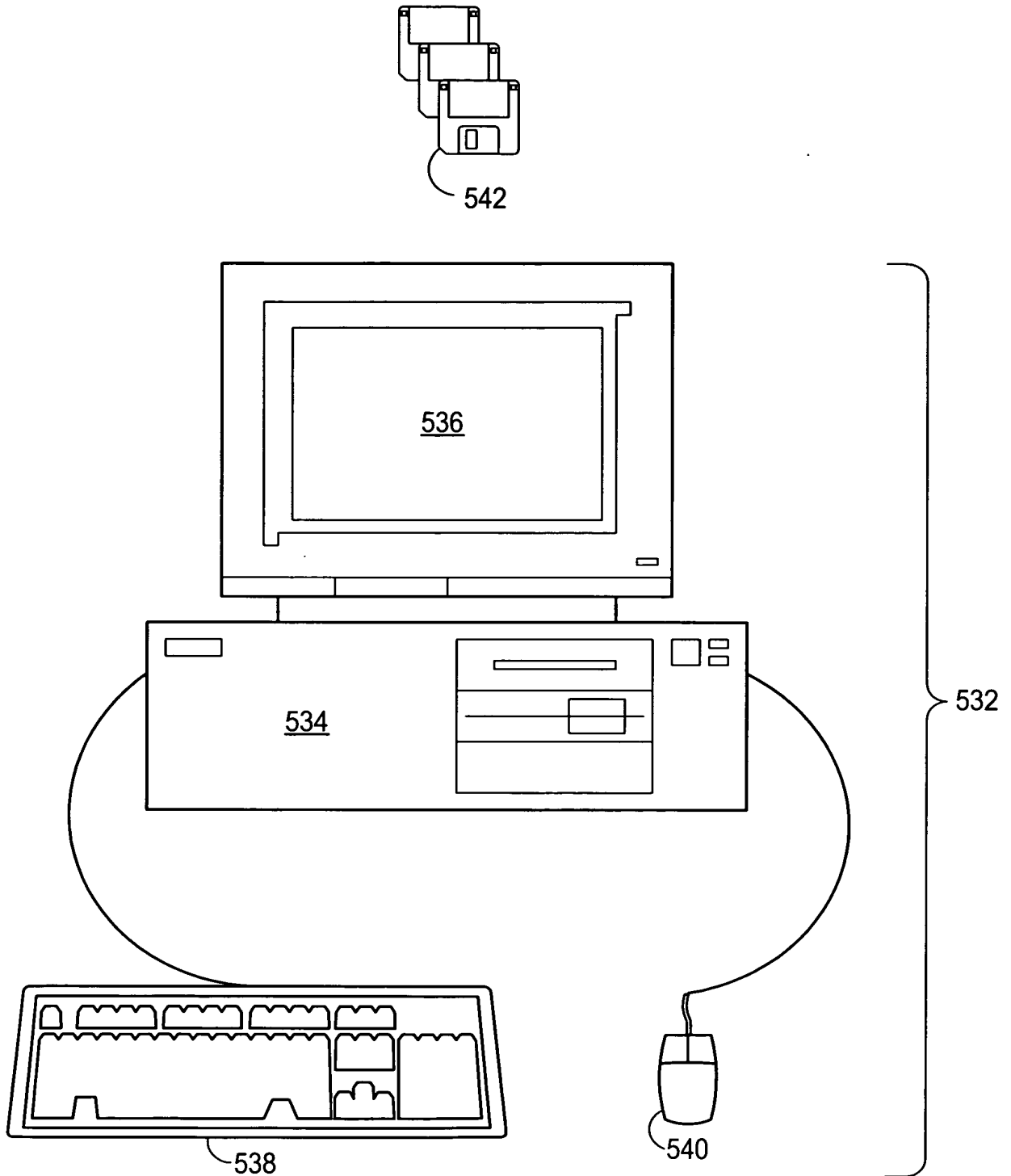


FIG. 2

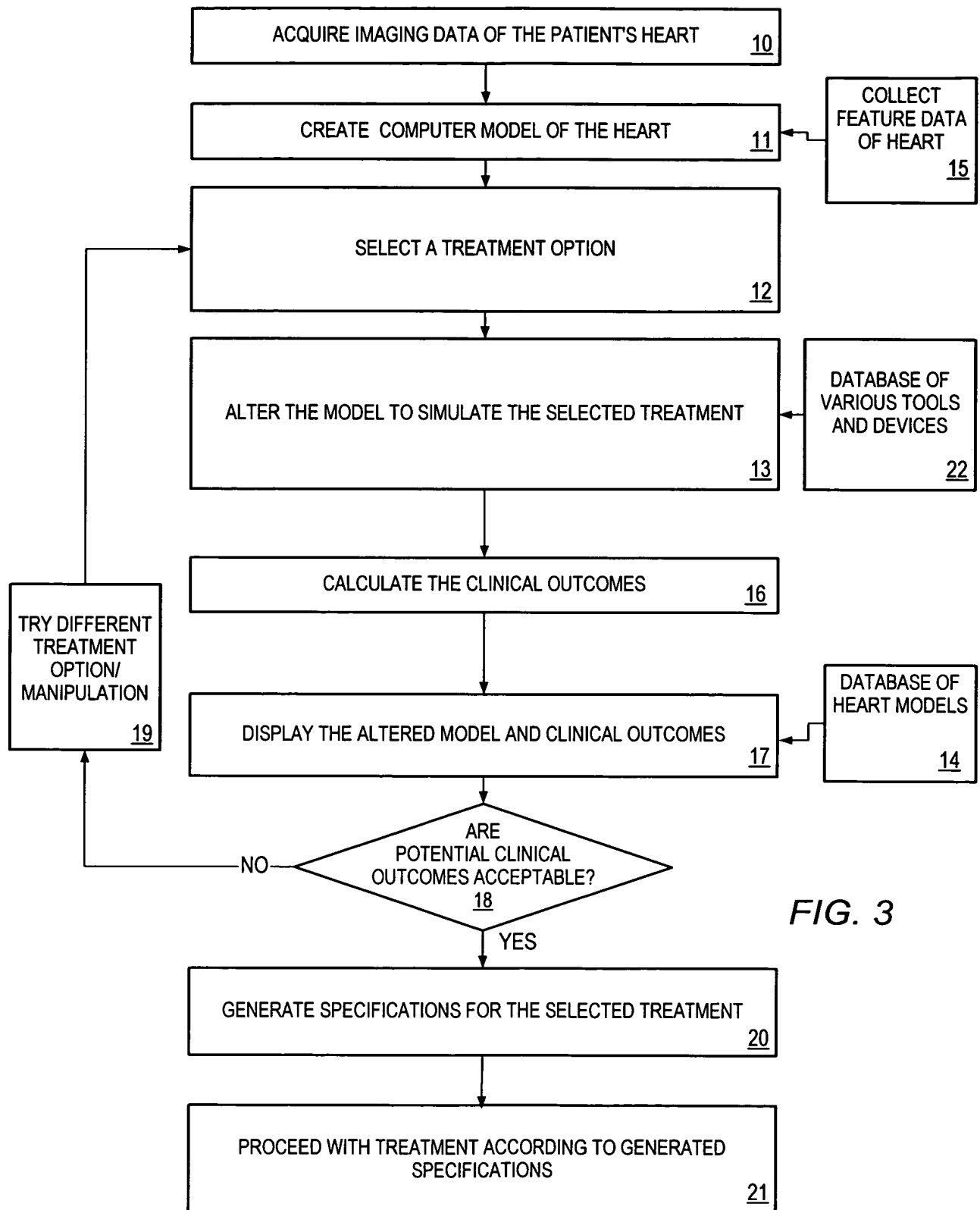
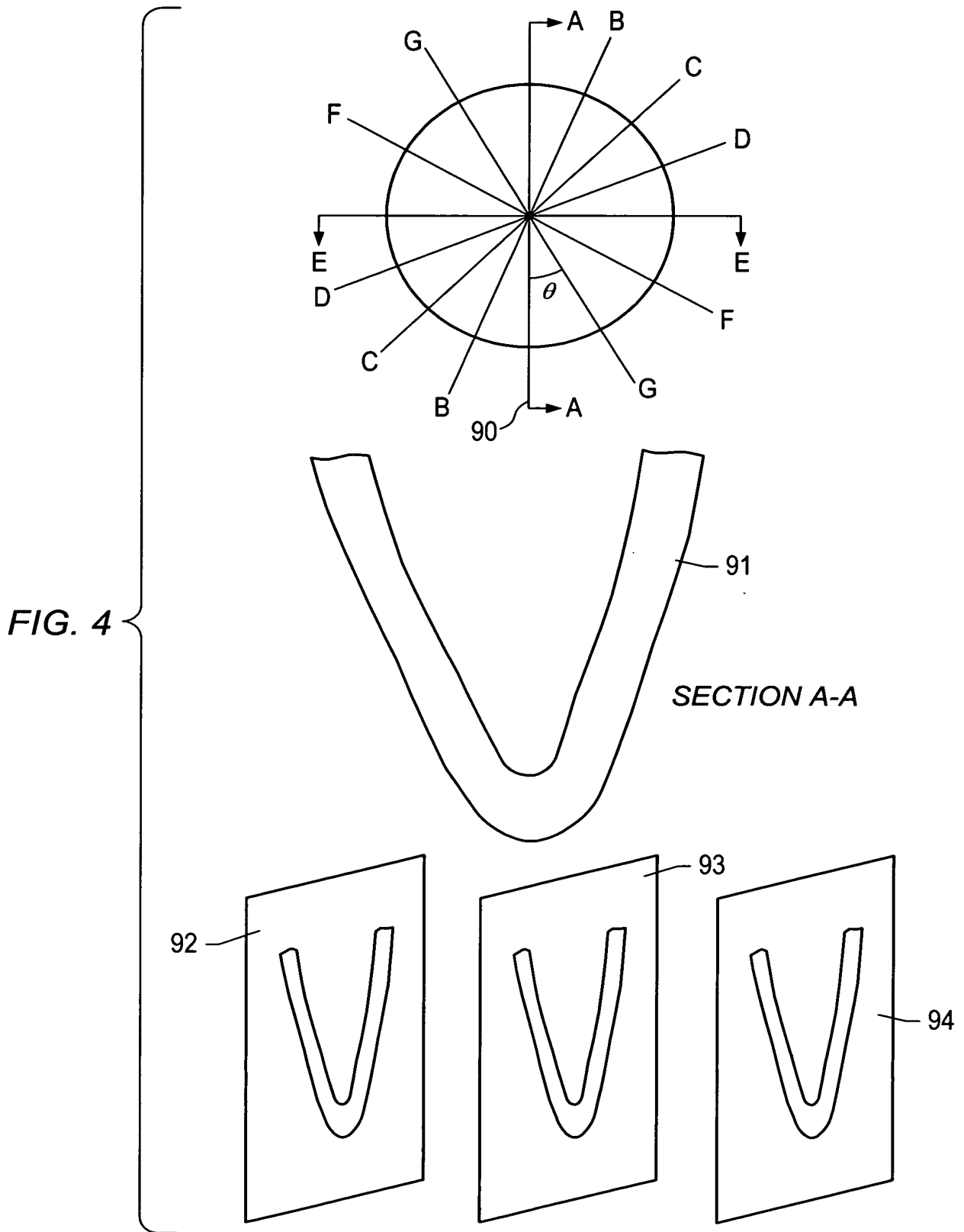
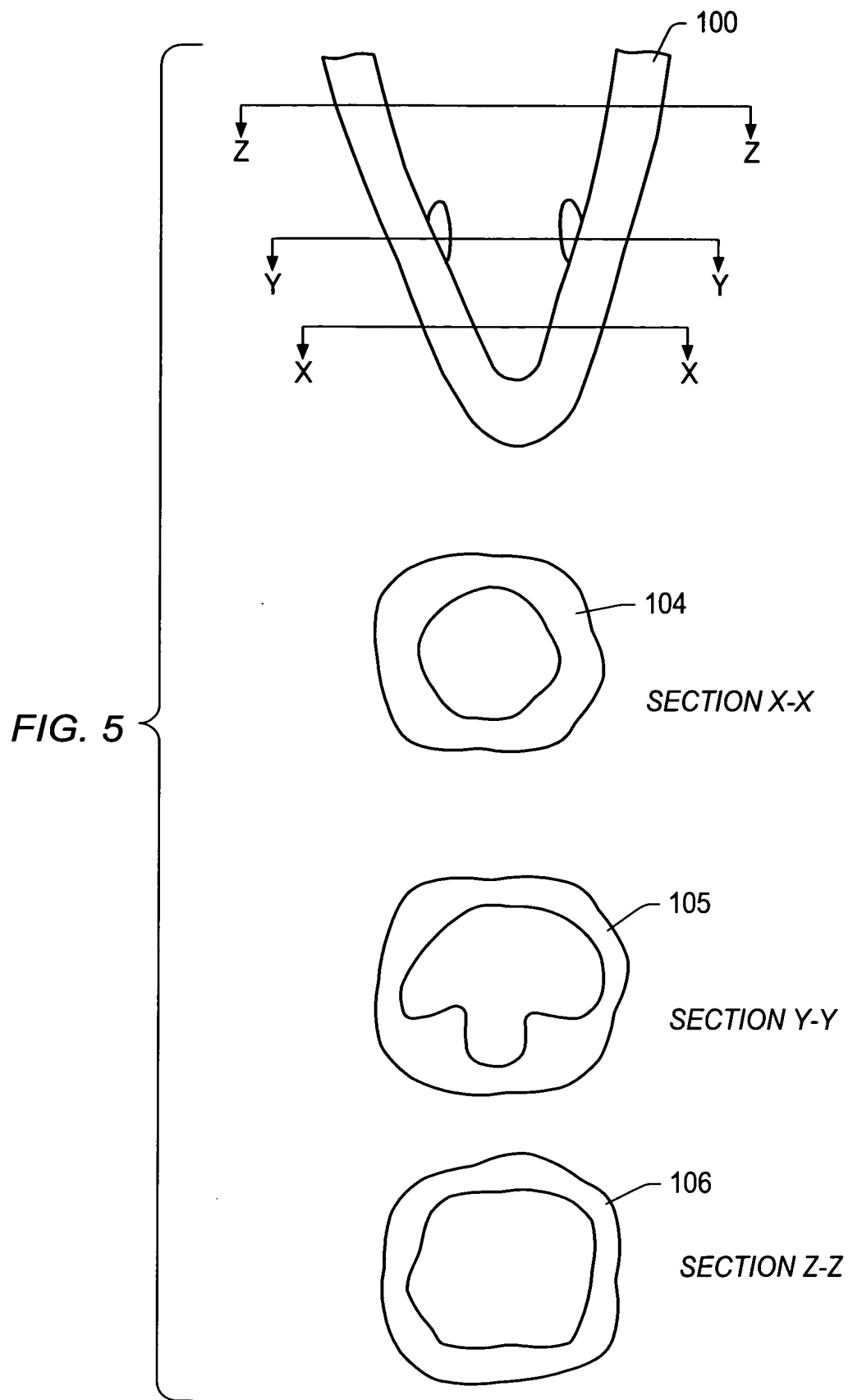


FIG. 3





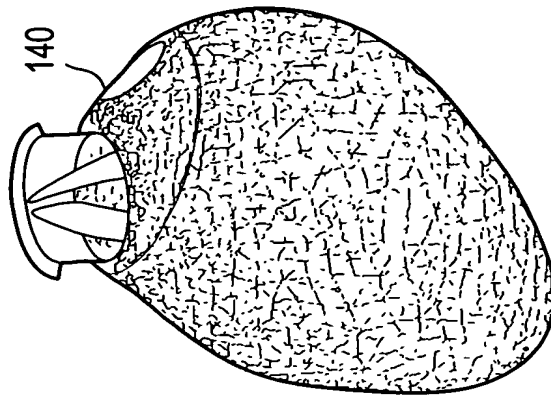


FIG. 7

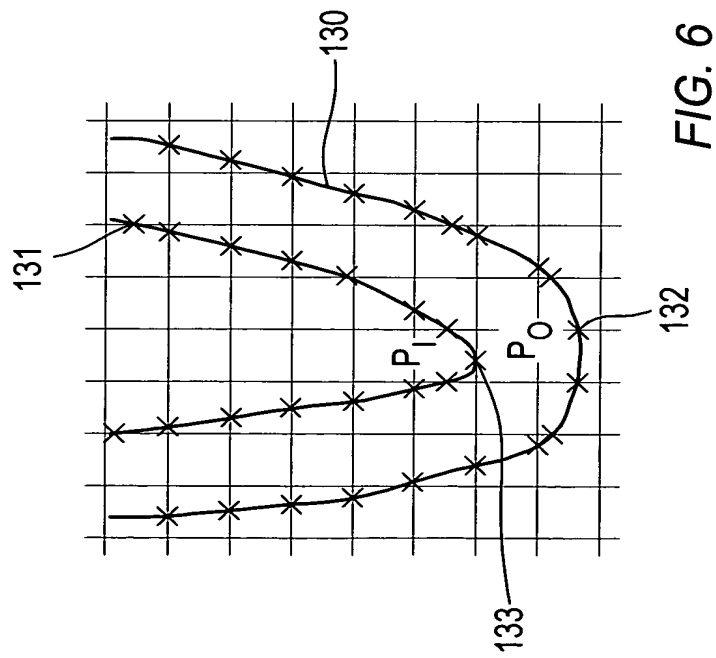
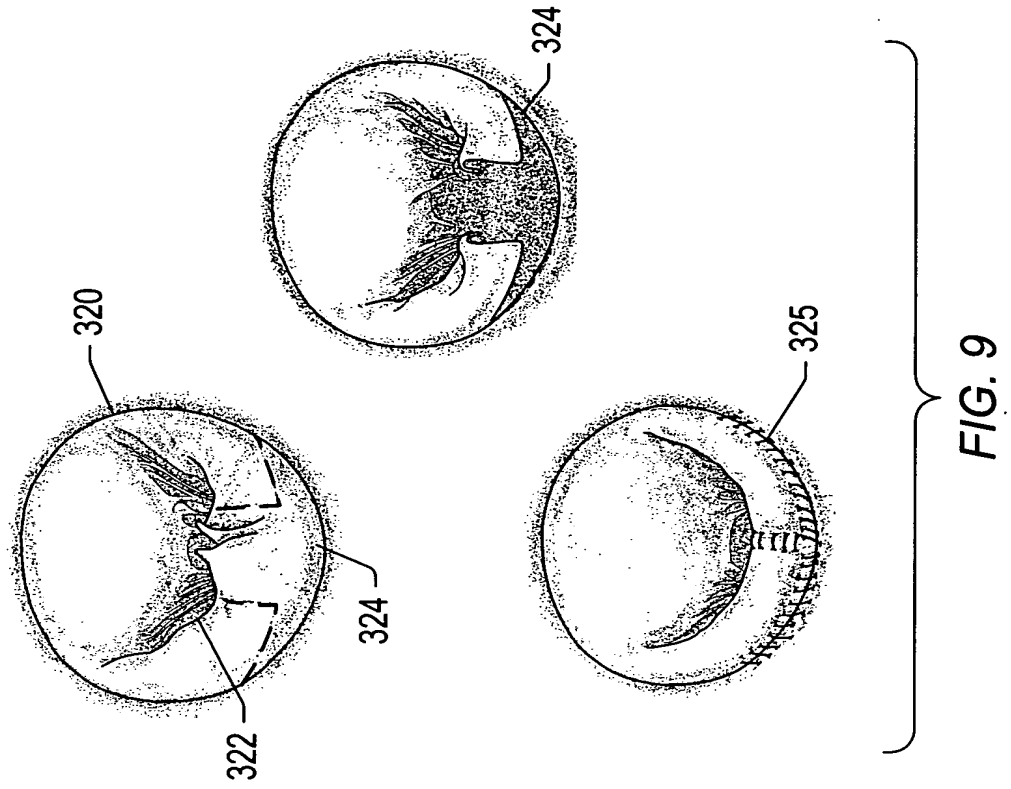
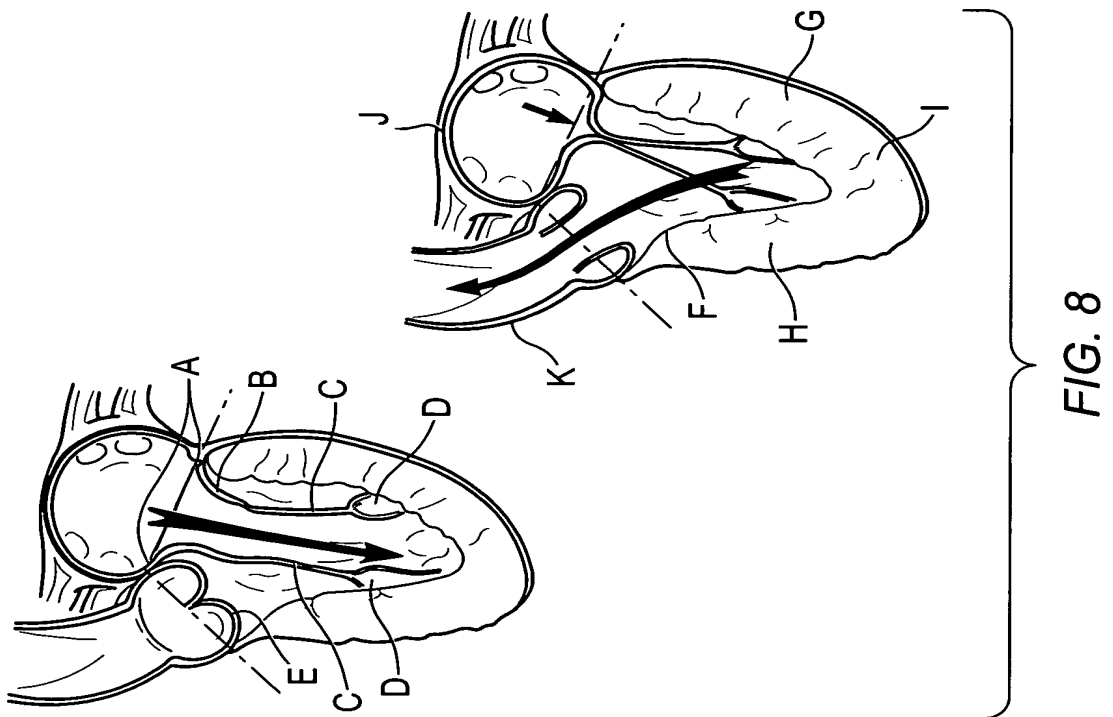


FIG. 6



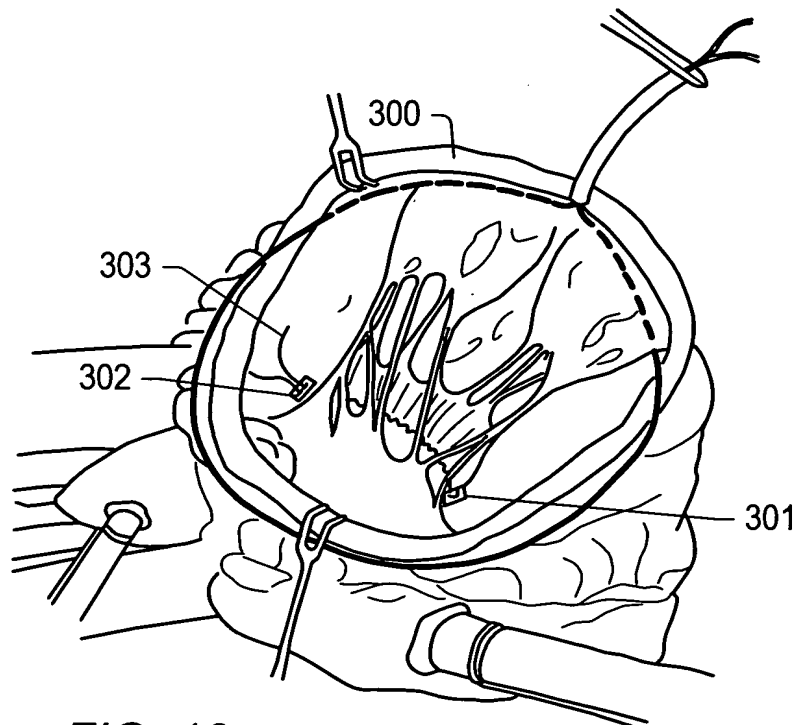


FIG. 10

9/28

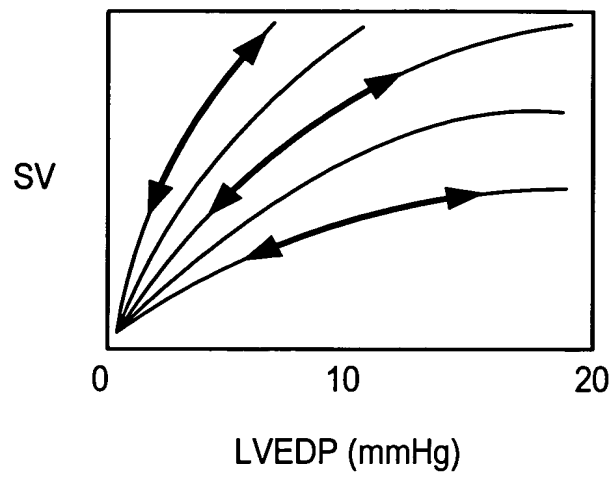


FIG. 11

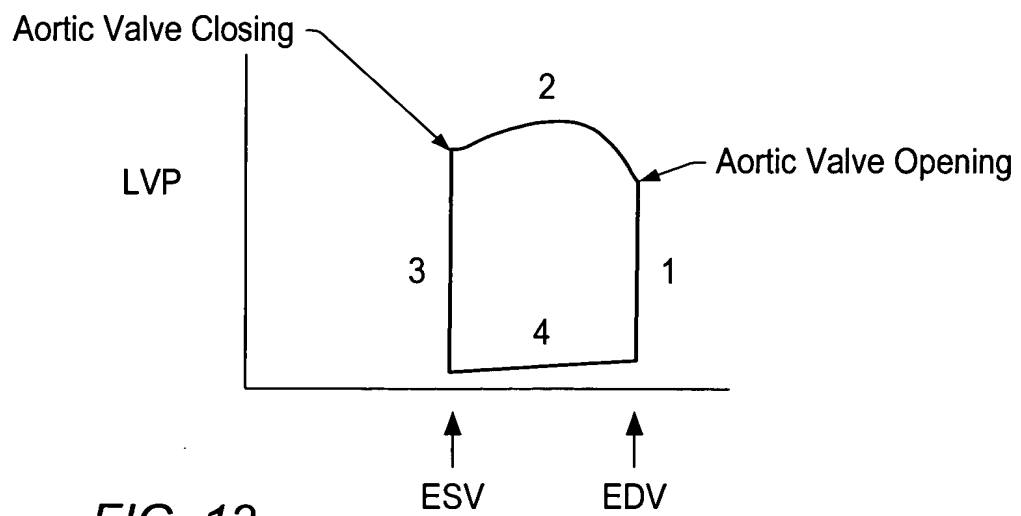


FIG. 12

10/28

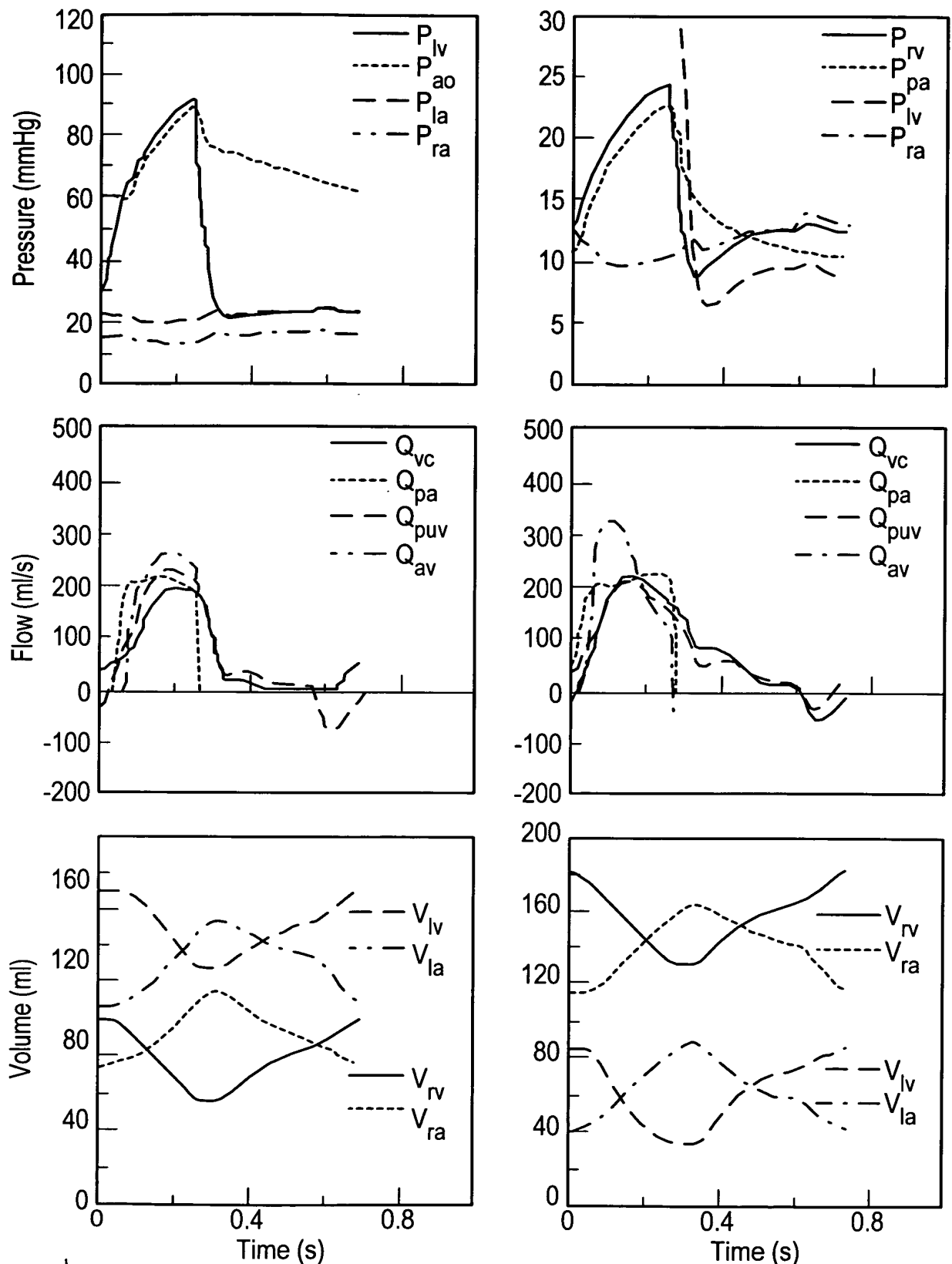
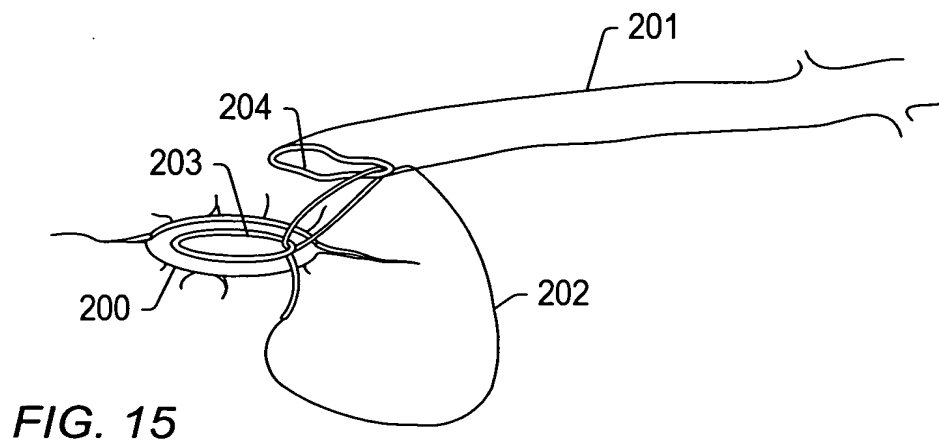
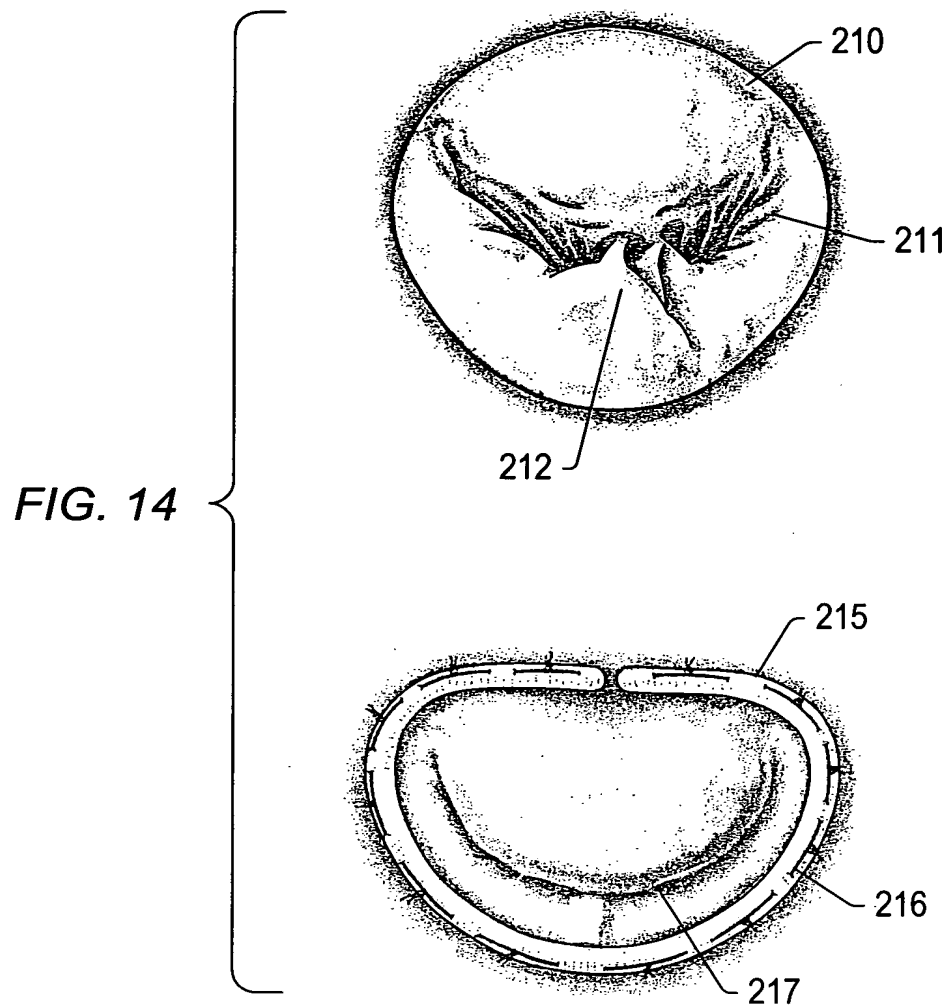


FIG. 13



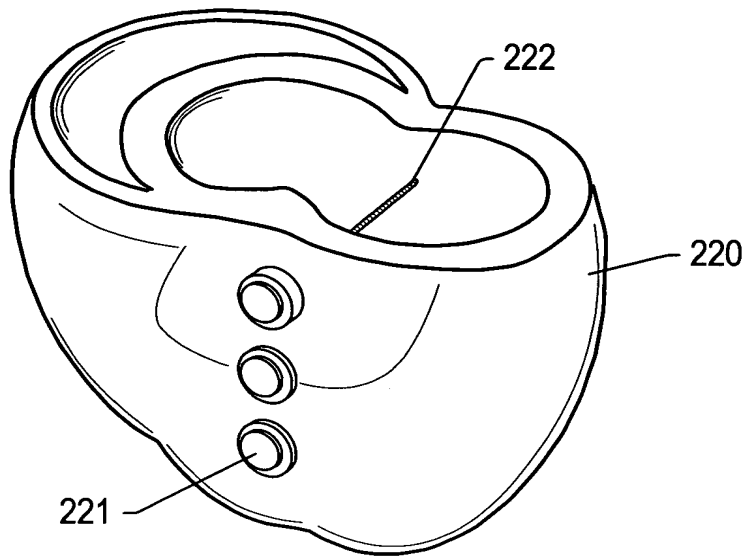


FIG. 16

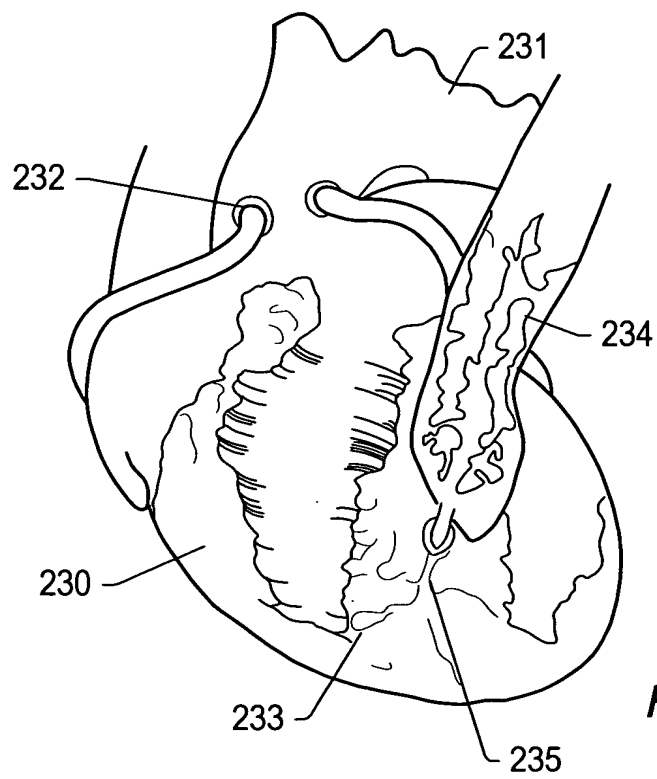
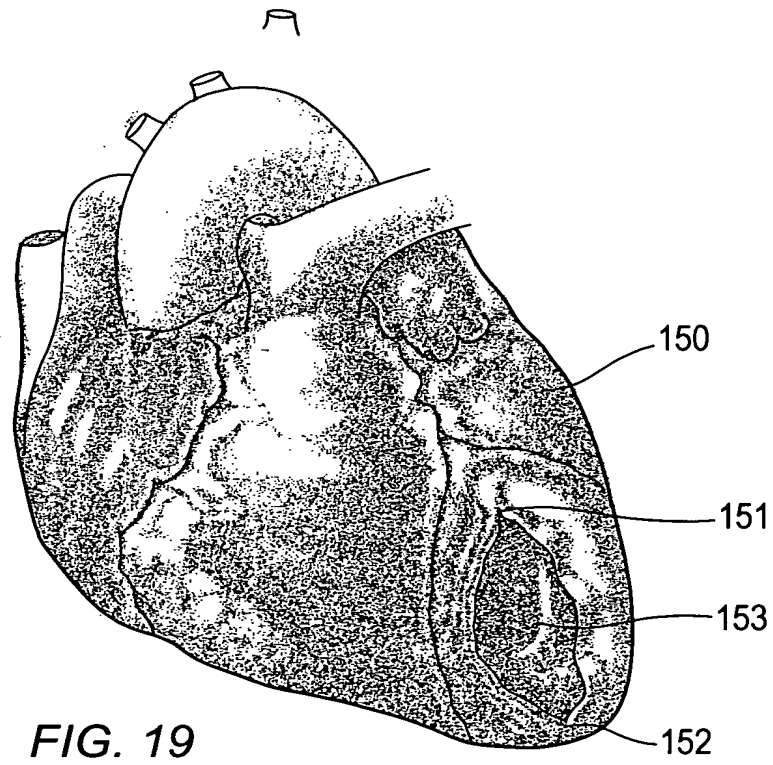
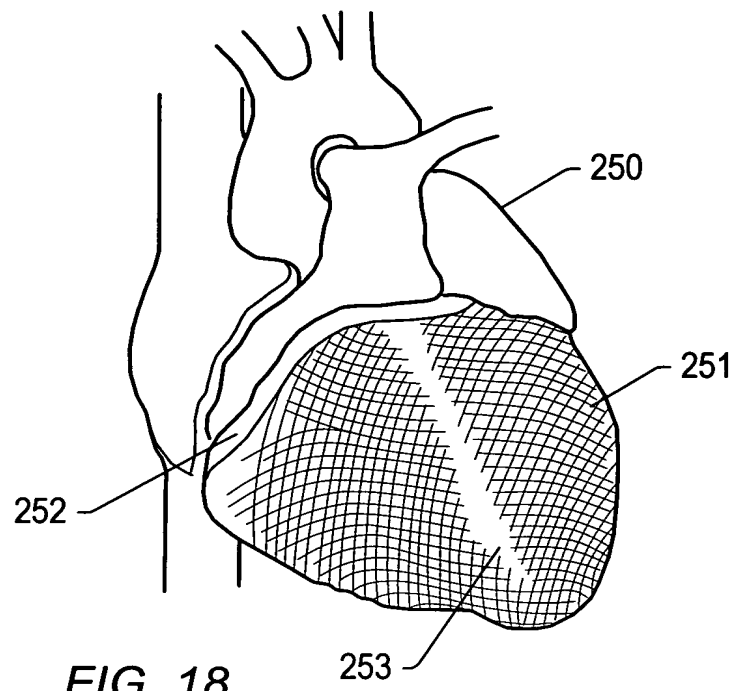


FIG. 17



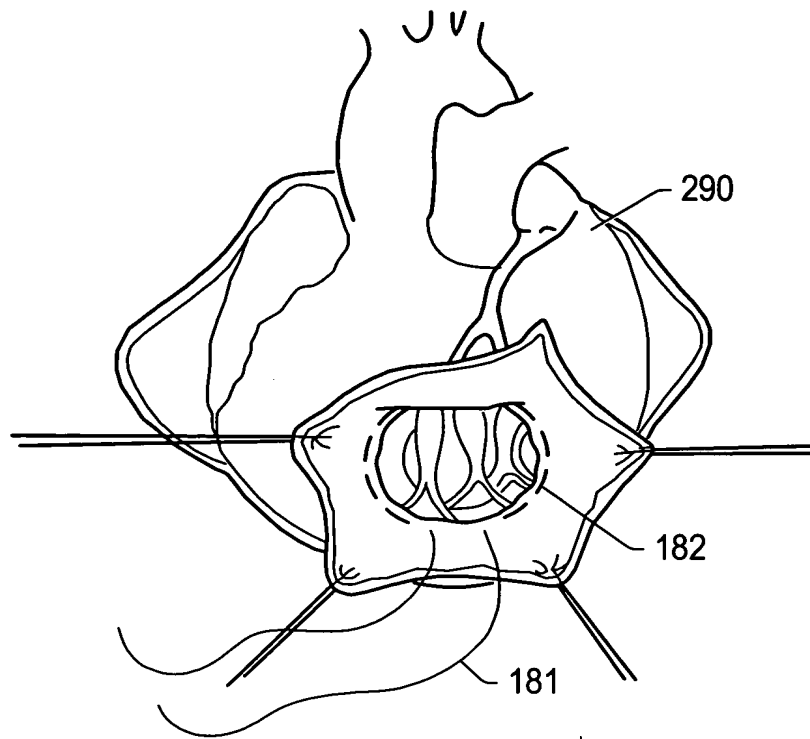


FIG. 20

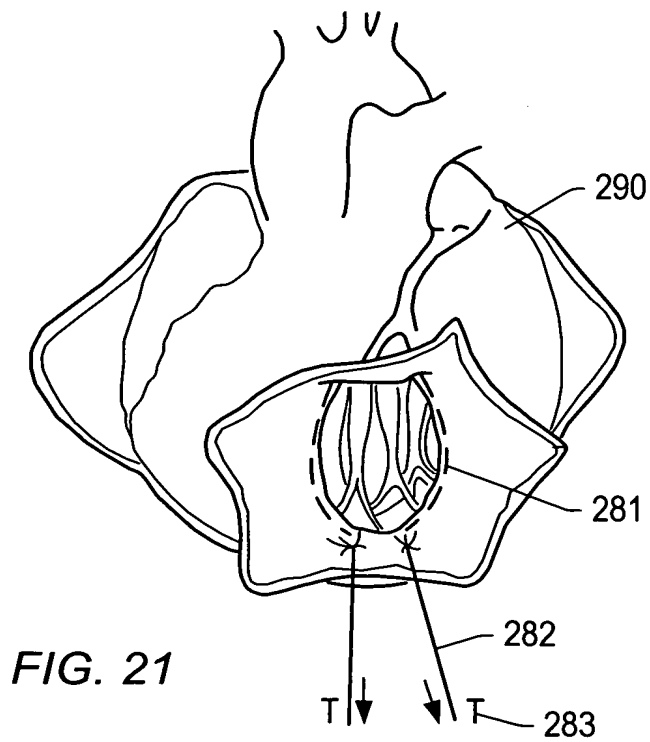


FIG. 21

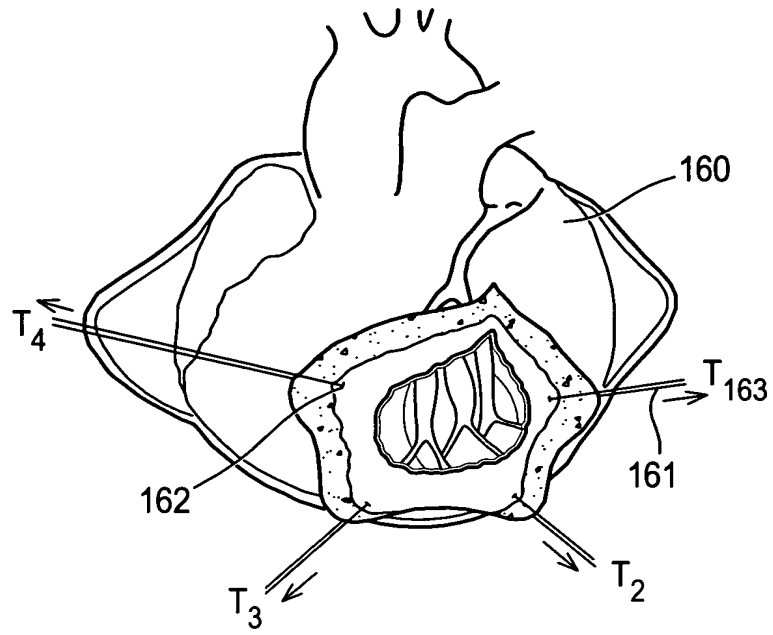


FIG. 22

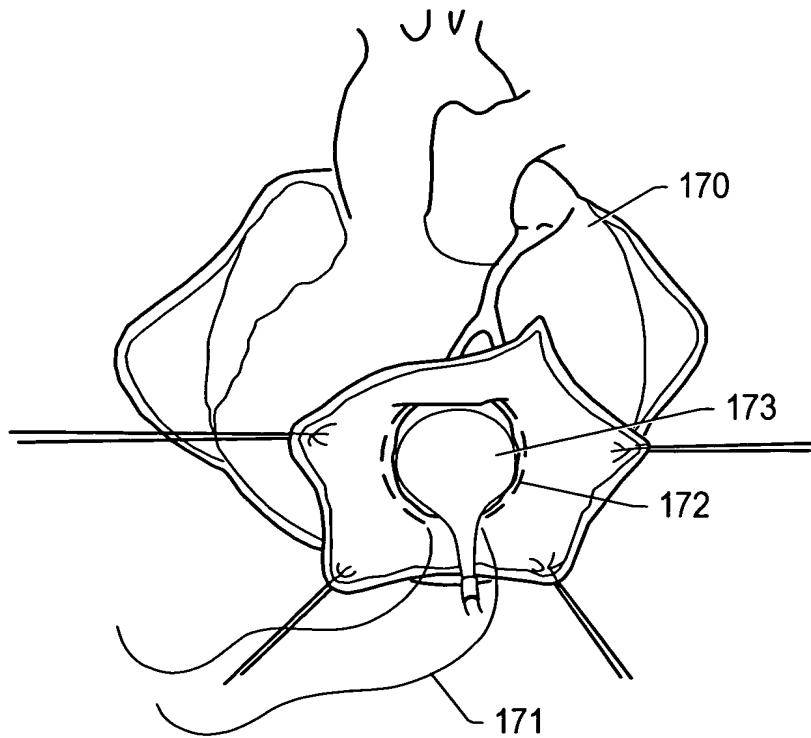


FIG. 23

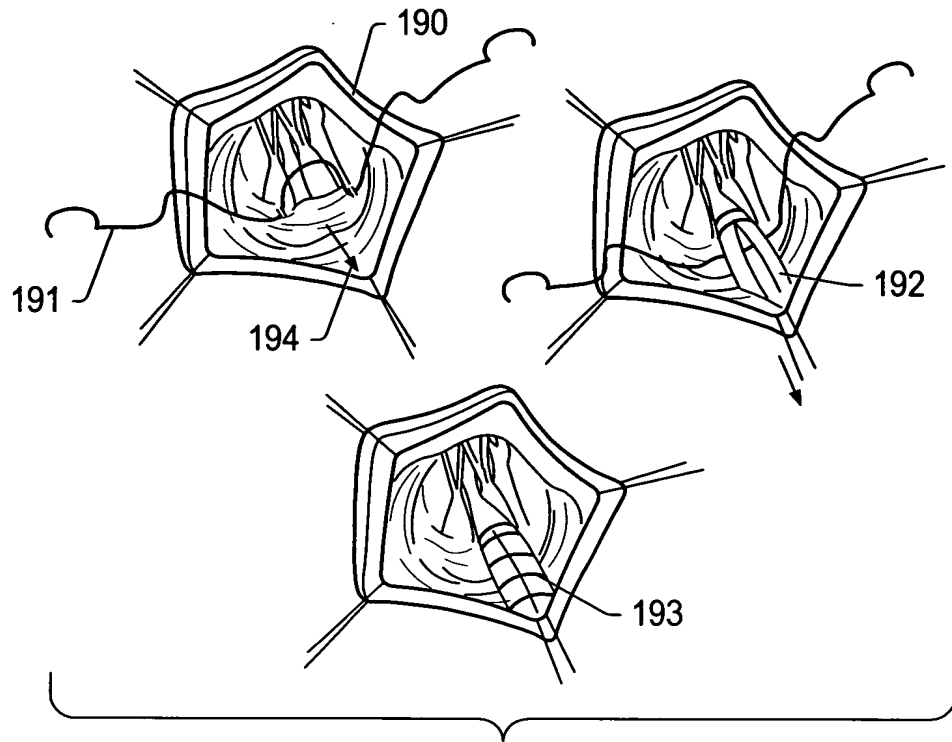


FIG. 24

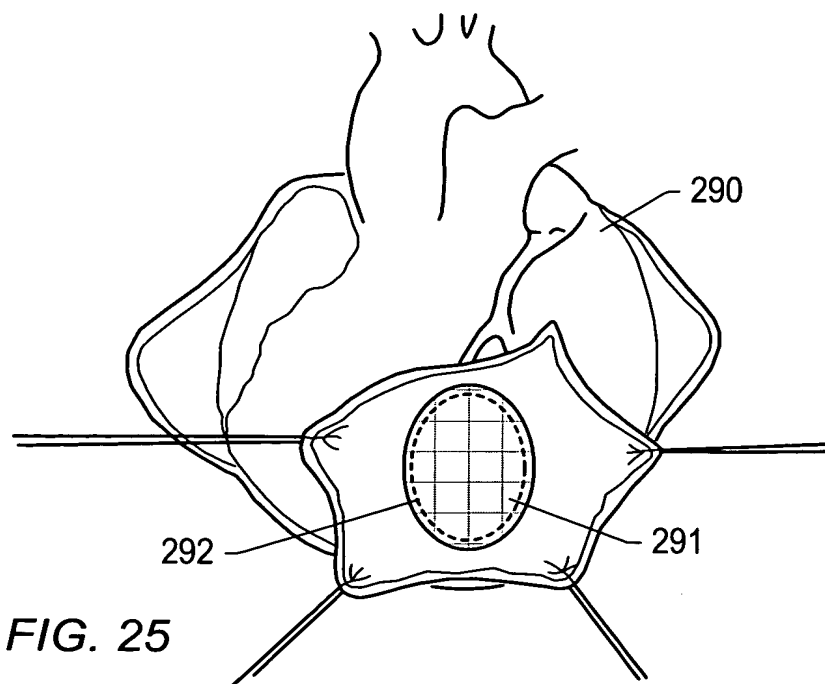


FIG. 25

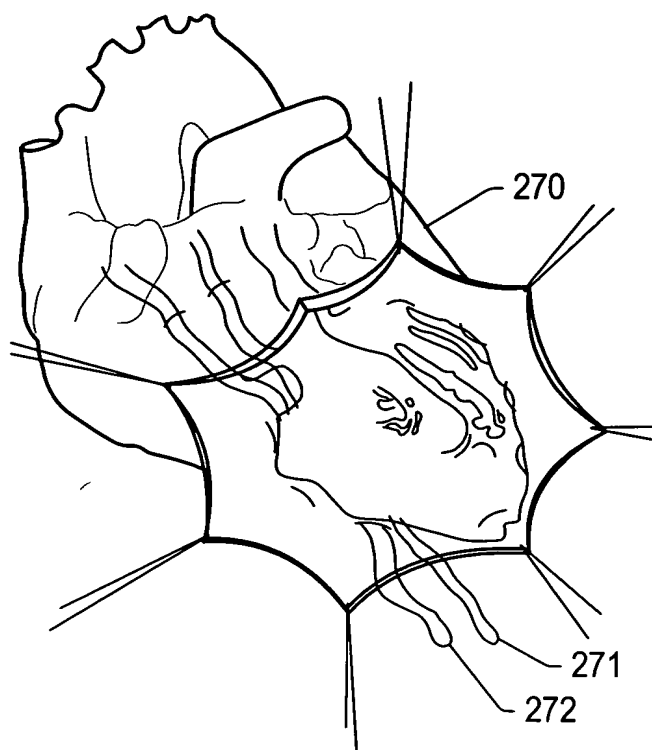


FIG. 26

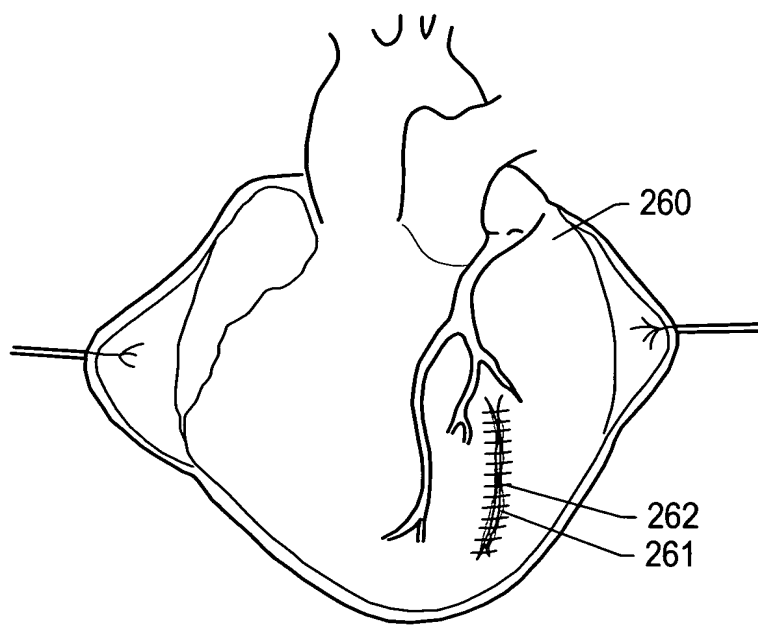


FIG. 27

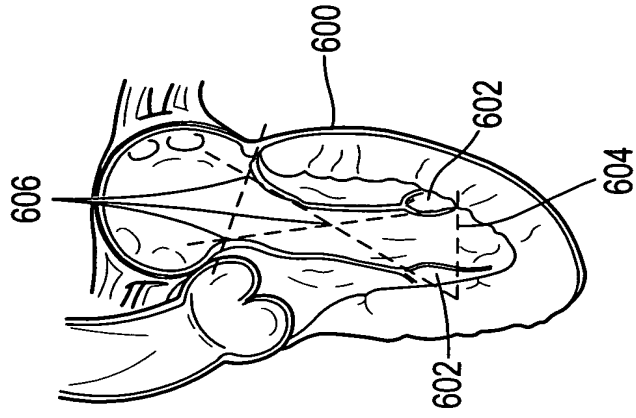


FIG. 29

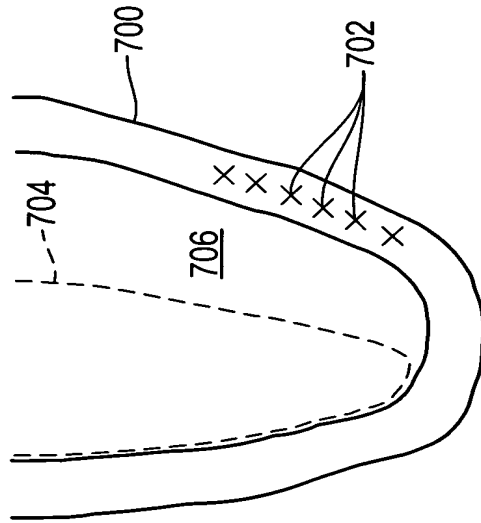
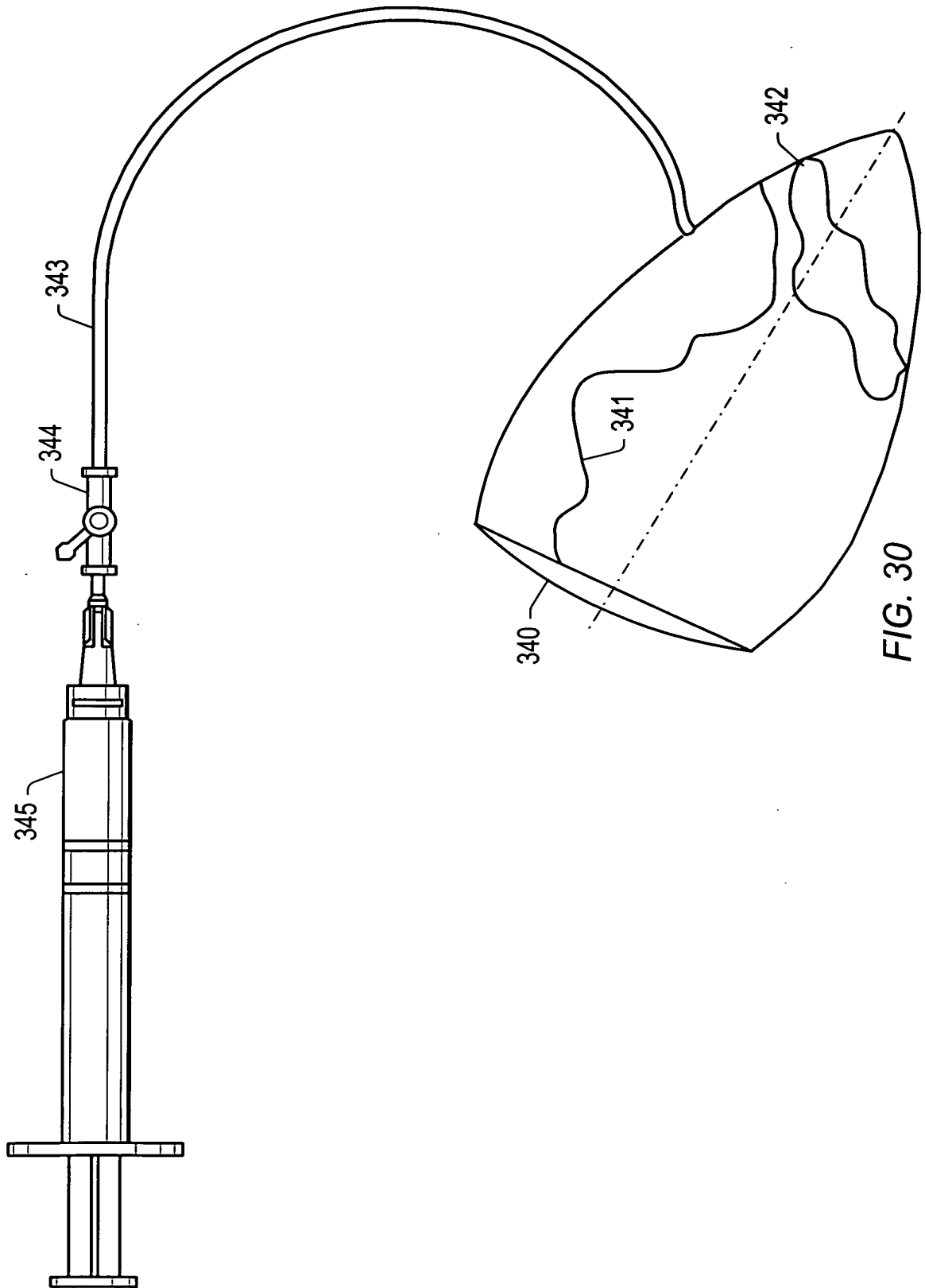
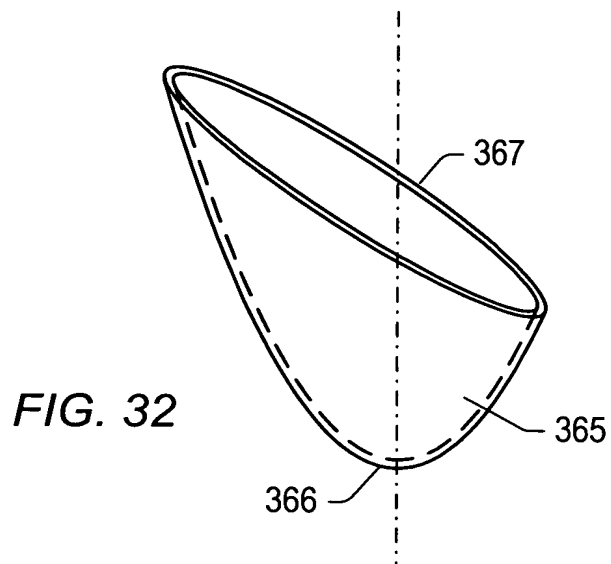
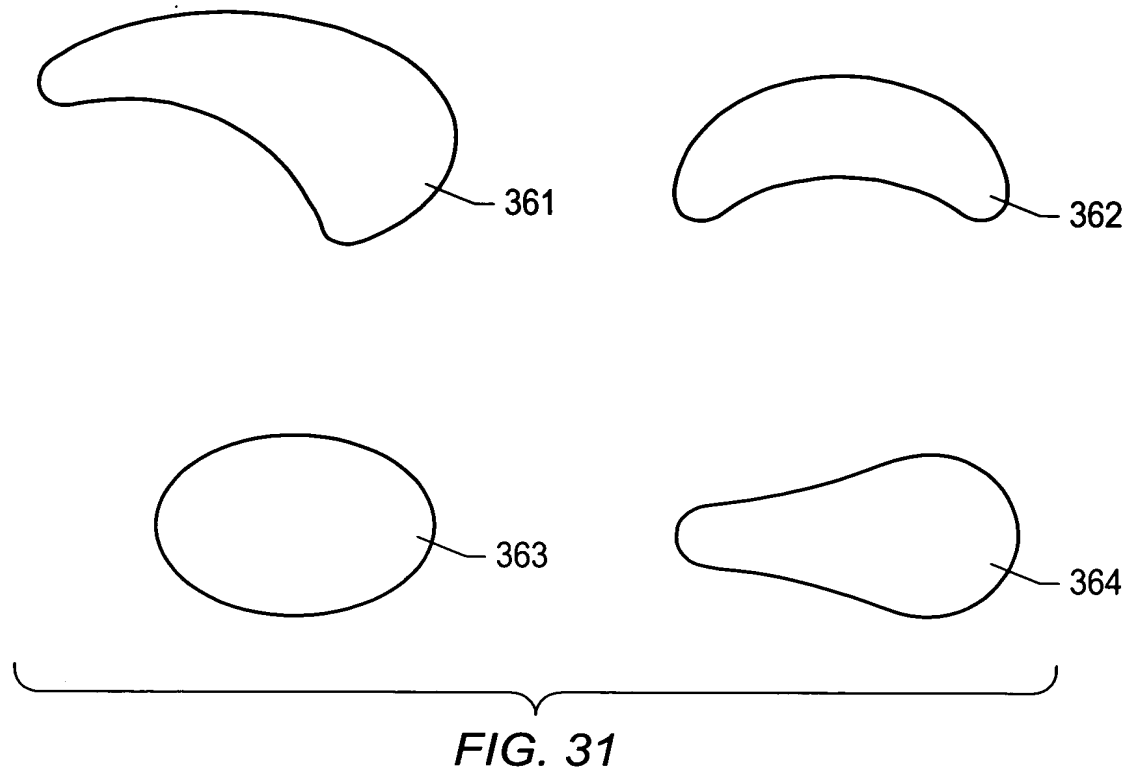


FIG. 28





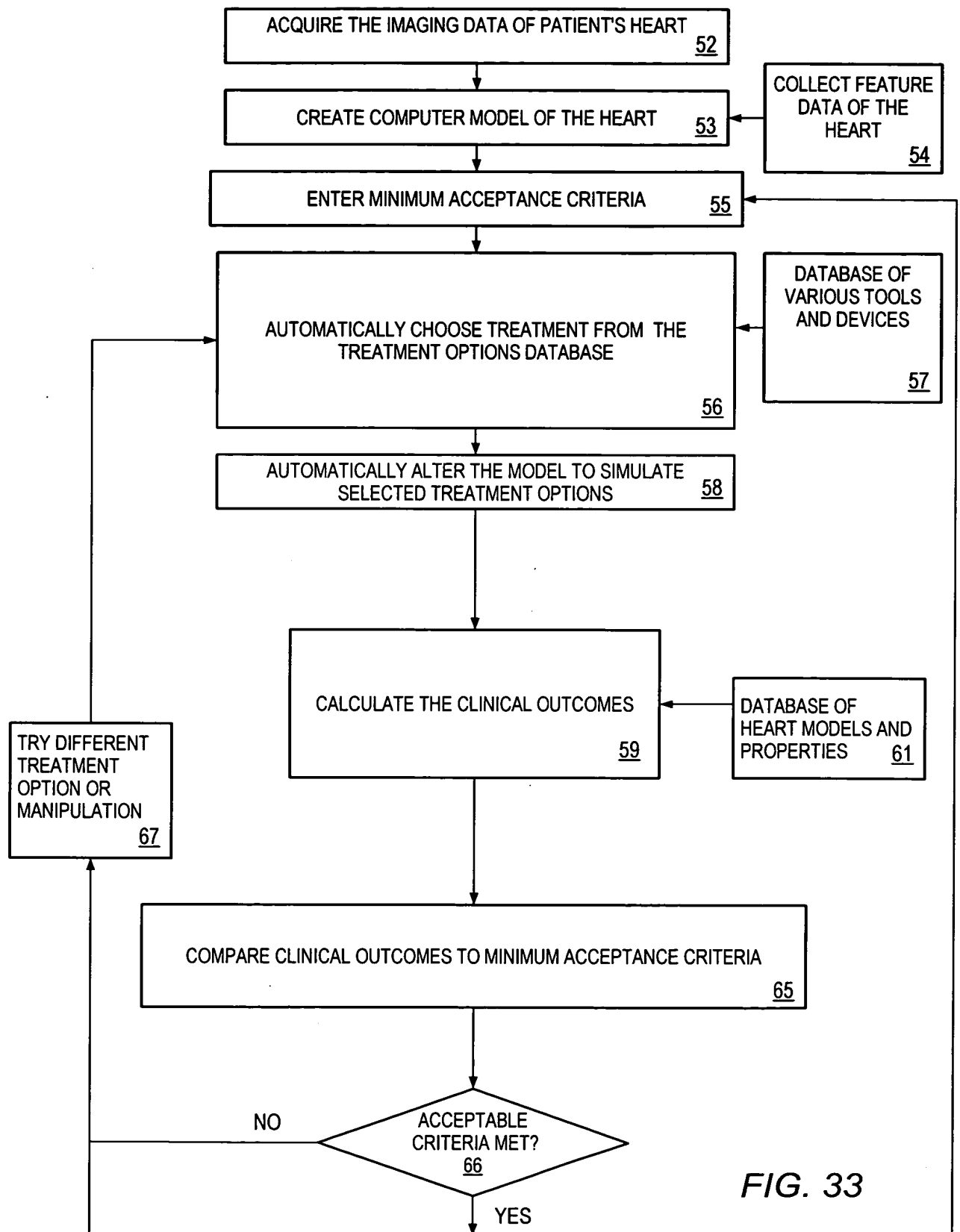


FIG. 33

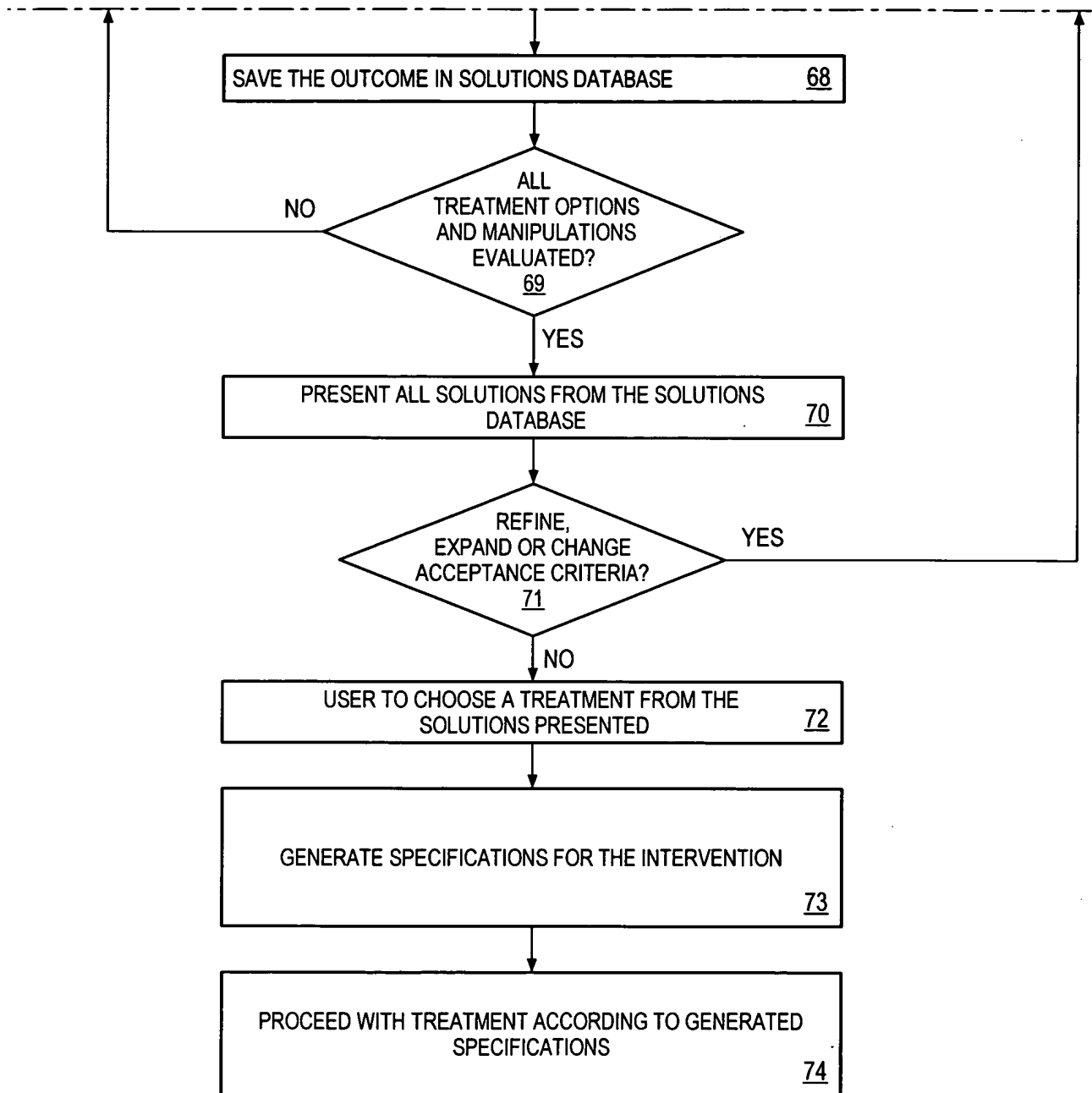


FIG. 33
CONTINUED

*AKINETIC SEGMENT
IDENTIFICATION FLOWCHART*

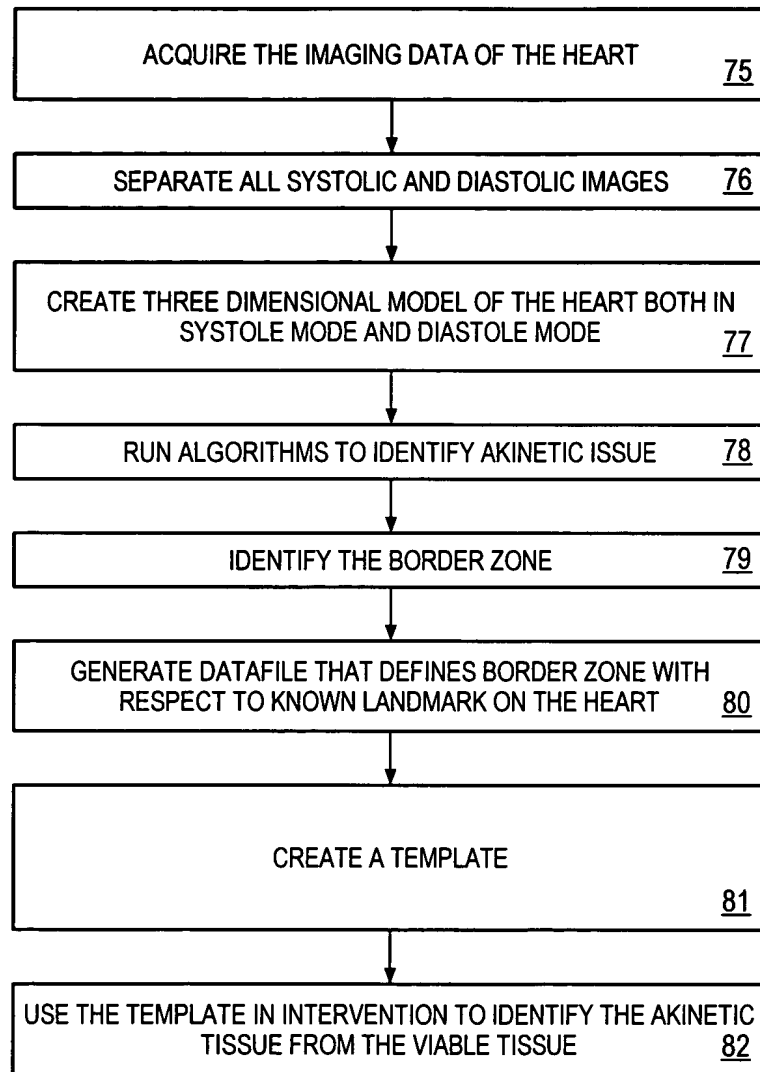


FIG. 34

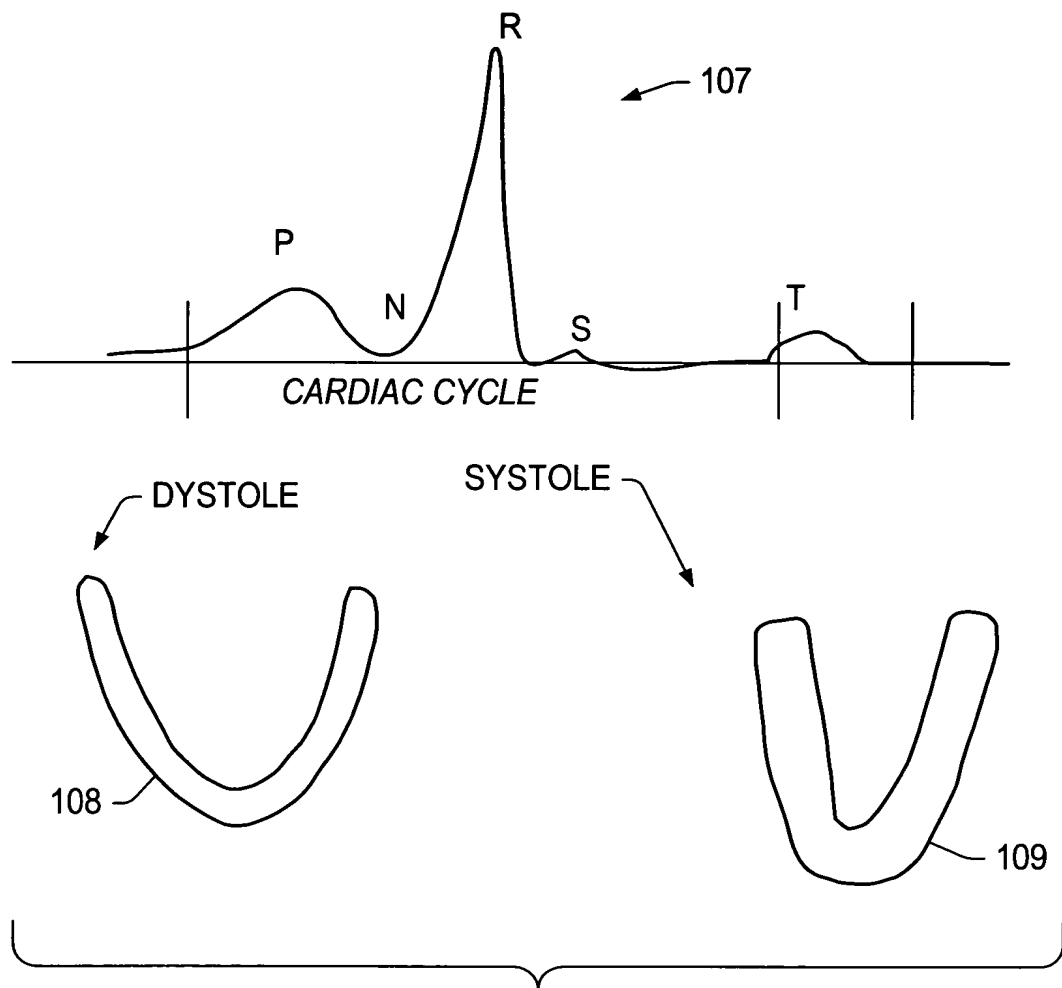


FIG. 35

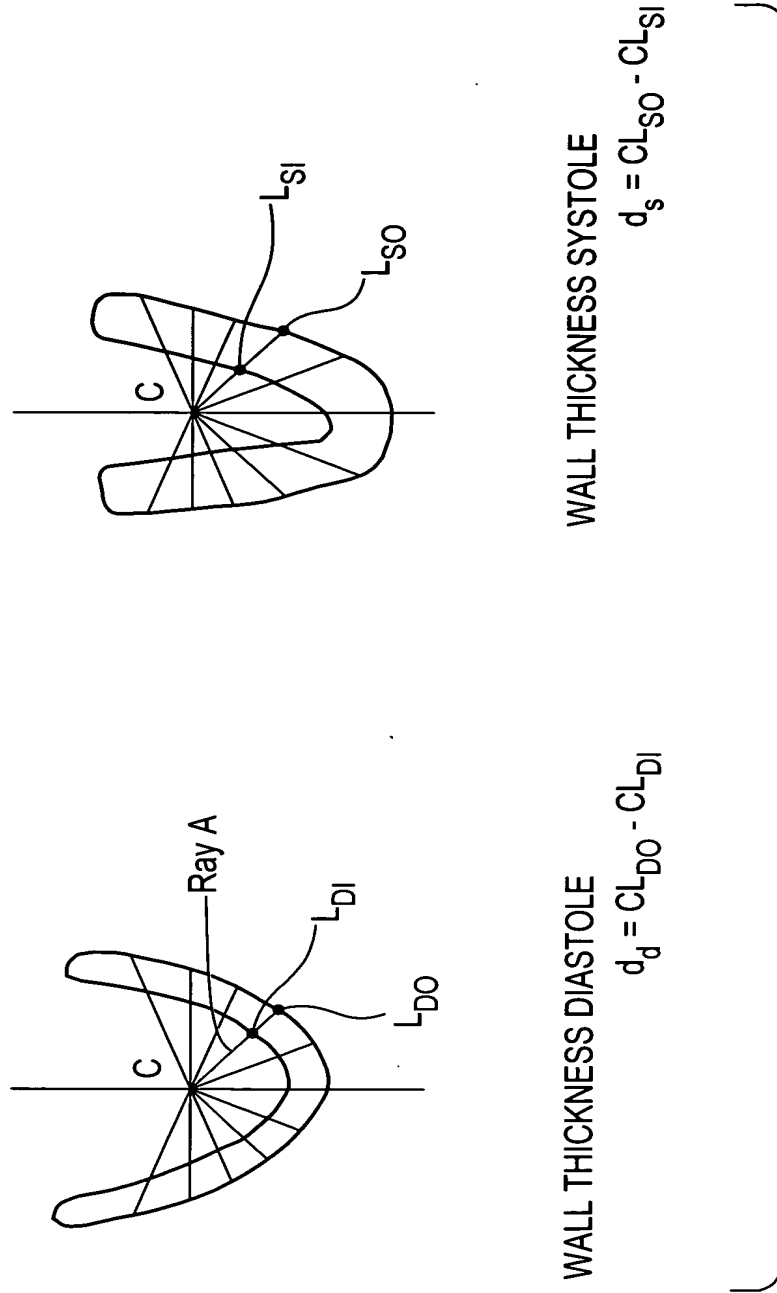
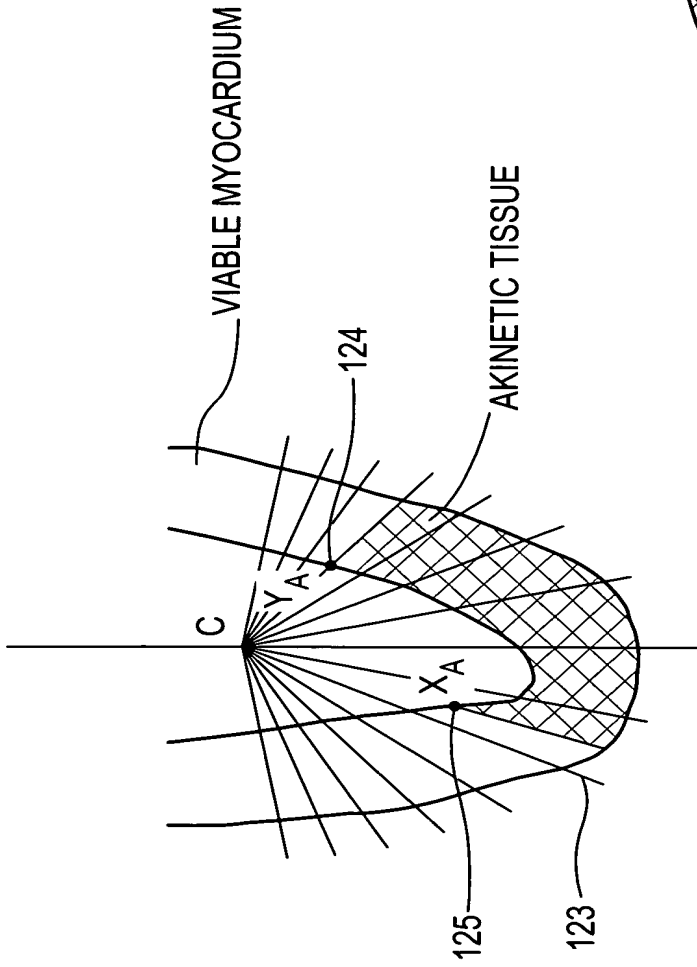


FIG. 36



X_A & Y_A ARE POINTS ON BORDER
ZONE IN THIS PLANE

FIG. 37

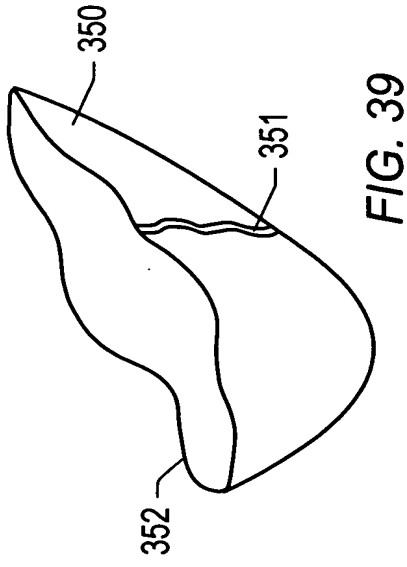


FIG. 39

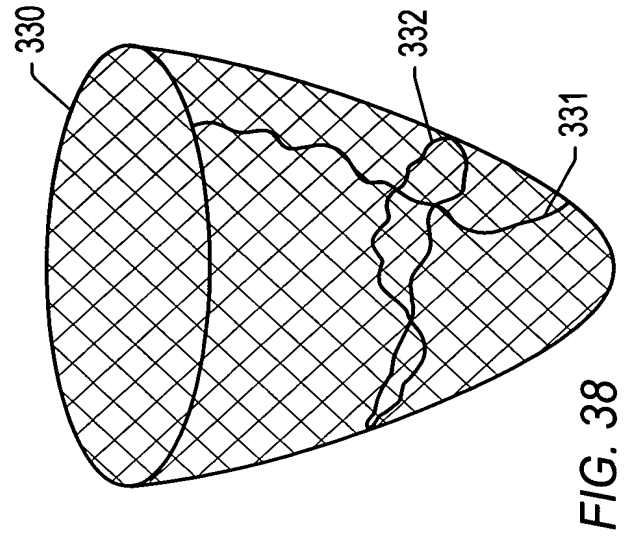
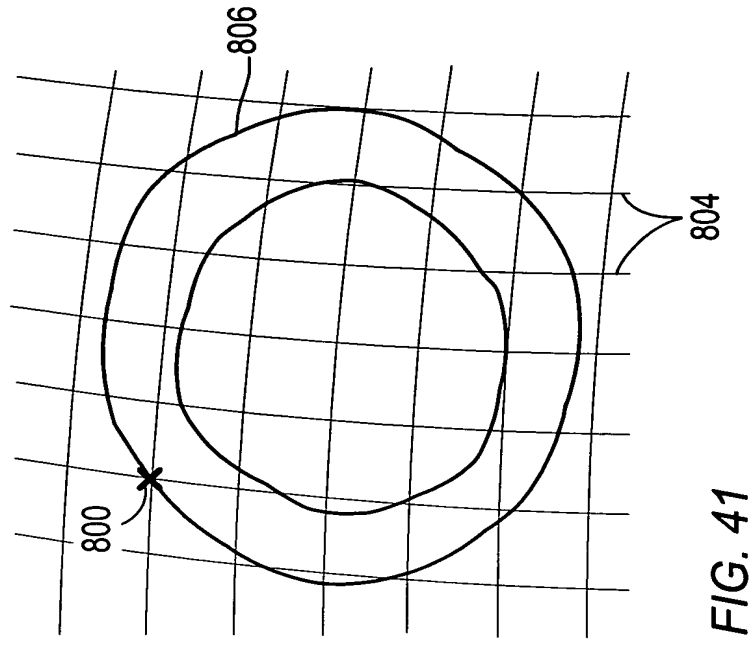
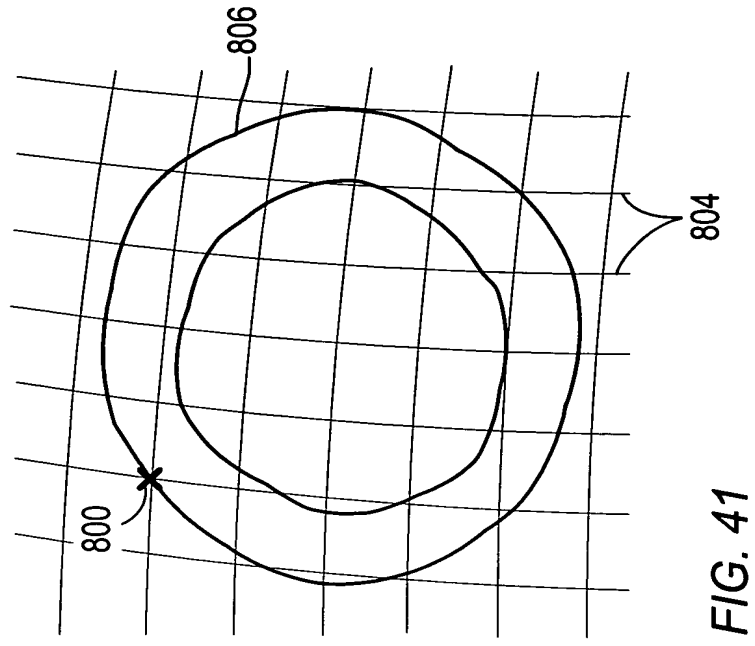


FIG. 38



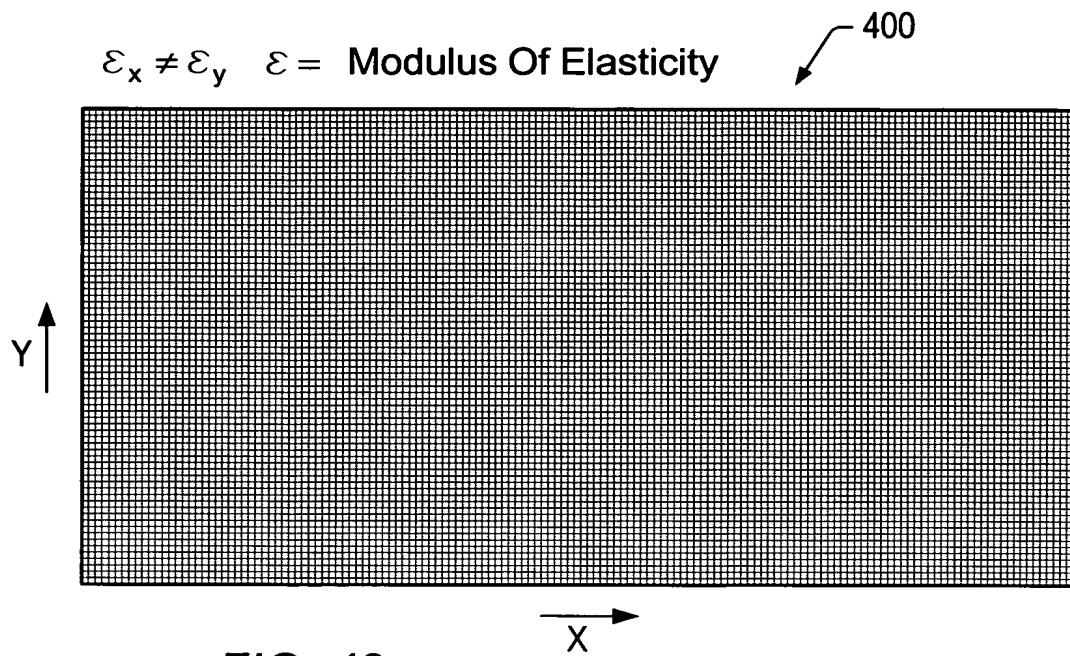


FIG. 42

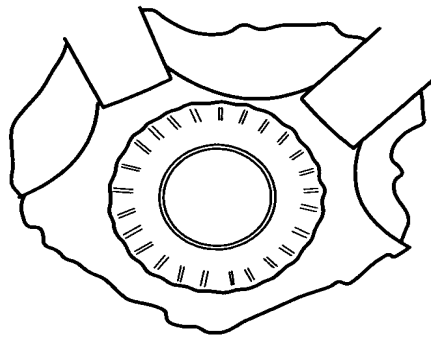


FIG. 43

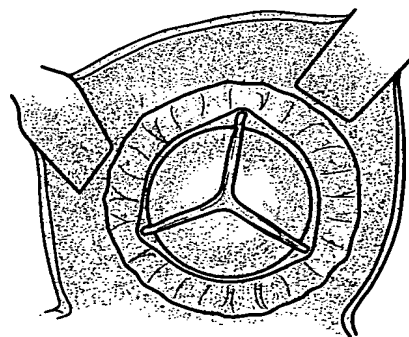


FIG. 44